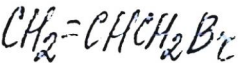


1980



H-H

☒ (41) (H-H)

2.1981.N16

16 Б265. Конформационный анализ газообразного 3-бромпропена по данным низкочастотных спектров комбинационного рассеяния. Durig J. R., Jaillia n M. R. Conformational analysis of gaseous 3-bromopropene from low-frequency Raman data. «J. Phys. Chem.», 1980. 84, № 26, 3543—3547 (англ.)

Исследовано заторможенное вращательное движение в молекуле  $CH_2=CHCH_2Br$  (I) по спектрам КР в газовой и жидк. фазах при различных  $T$ -рах. Найдено, что при  $T$ -ре окружающей среды I существует в двух конформерах, причем гош-конформер более стабилен и содержание его составляет ~90%. В спектре КР газа полоса торсионная мода гош-конформера наблюдается при  $99\text{ см}^{-1}$  с четырьмя сопутствующими «горячими» спутниками, а внутреннее вращение цис-изомера наблюдается при  $61\text{ см}^{-1}$ . Найдены след. значения для постоянных потенциала внутреннего вращения:  $V_1 = 292 \pm 30$ ,  $V_2 = -581 \pm 22$ ,  $V_3 = 577 \pm 17$ ,  $V_4 = 73 \pm 14$ ,  $V_6 = -69 \pm 7\text{ см}^{-1}$ . Из них установлена разность эн-тальпии двух конформеров, к-рая составляет величину  $272\text{ см}^{-1}$  ( $0,777\text{ ккал/моль}$ ). Из анализа относит. ин-

тенсивностей полос КР при 457 (цис) и 392 см<sup>-1</sup> (гош)  
в спектре жидкости как функции т-ры найдена раз-  
ность энтальпии, к-рая составляет 320 см<sup>-1</sup>.  
(0,915 ккал/моль) и согласуется с величиной получен-  
ной для пара.

В. М. Михайлов



1980

$H-C \equiv C-C \equiv C-Br$

C-H-Br  
соедин.

2.

☒

Ф. 1980. № 7

7 Д365. Системы полос  $A-X$  ионов  $H\{C \equiv C\}_2X^+$  ( ${}^2\Pi \rightarrow {}^2\Pi$ ) и  $CH_3\{C \equiv C\}_nX^+$  ( ${}^2E \rightarrow {}^2E$ ), где  $n=1,2$ ;  $X=Cl, Br$ .  $\bar{A} \rightarrow \bar{X}$  band systems of  $H\{C \equiv C\}_2X^+$  ( ${}^2\Pi \rightarrow {}^2\Pi$ ), and of  $CH_3\{C \equiv C\}_nX^+$  ( ${}^2E \rightarrow {}^2E$ )  $n=1,2$  with  $X=Cl, Br$ . Maier J. P., Marthaler O., Klosser-Jensen E. «J. Electron. Spectrosc. and Relat. Phenom.», 1980, 18, № 3, 251—265 (англ.)

В области  $14\,000-24\,000\text{ см}^{-1}$  получены спектры испускания газообразных катионов  $H\{C \equiv C\}_2X^+$  и  $CH_3\{C \equiv C\}_nX^+$ . Образование возбужденных катионов осуществлялось под действием пучка электронов с энергией  $\sim 30$  эв. Давление паров исходных в-в не превышало  $10^{-4}$  мм рт. ст. отождествление полос в спектрах испускания выполнено на основе анализа соответствующих HeI- и NeI-фотоэлектронных спектров, снятых при высоком энергетич. разрешении. Отмечено хорошее согласие основных колебательных частот ионов в состояниях  $\bar{A}$  и  $\bar{X}$ , полученных обоими методами. Определены времена жизни ионов на нижних колебательных уровнях состояний  $\bar{A}$  всех исследованных ионов. Обсуждены каналы их релаксации. Библи. 23. М. Т.

гурвич

$C_3H_7Bz$

1981

Felps W.S., et al.

J. Chem. Phys., 1981,  
74, N 9, 4832-4838.

Тугберз.  
переходы.

(сер.  $C_2H_5Bz$ ; III)

1981

С-Н-Br - связь

11 Д129. Молекулярная механика органических галлоидов. Ч. IV. Монобромиды и негеминальные дибромиды. Molecular mechanics of organic halides. Part. IV. Monobromides and non-geminal dibromides. Meyer A. Y., Ohmichi N. «J. Mol. Struct.», 1981, 73, 145—157 (англ.)

Метод молекулярного силового поля. (Wertz P. H., Allinger N. L. «Tetrahedron», 1974, 30, 1579) применен для расчета молекулярных геометрий, дипольных моментов и барьеров внутреннего вращения для 34 молекул органич. бромидов и негеминальных дибромидов (как циклических, так и нециклических). Рассмотрены вопросы, касающиеся границ изменения связей C—Br и двугранных углов, величины сил притяжения или отталкивания между несвязанными (валентной связью) фрагментами молекулы, конформационные равновесные состояния в несимметричных 1,4-дизамещенных циклогексанах и т. д. Ч. III см. Meyer A. Y. «J. Comput. Chem.», 1980, 1, 111. А. Обухов

геомет;  
μ, Co;  
кв. мех.  
расчет

ф. 1981, 18, № 11.

$\text{CH}_3\text{CH}_2\text{CH}_2\text{Br}$

1981

4 Д505. Микроволновый спектр гошизомера *H*-пропилбромиды. Microwave spectrum of gauche normal propyl bromide. Niide Yuzuru, Ohkoshi Ichiro, Takano Mitsuru. «J. Mol. Spectrosc.», 1981, 89, № 2, 387—396 (англ.)

В диапазоне 10—30 ГГц исследованы микроволн. спектры гошизомеров молекул  $\text{CH}_3\text{CH}_2\text{CH}_2\text{X}$  с  $\text{X} = {}^{79}\text{Br}$  и  ${}^{81}\text{Br}$ . Идентифицирована квадрупольная сверхтонкая структура линий вращательных переходов с  $J < 15$  в основном колебательном состоянии и в первых двух возбужденных состояниях крутильного колебания вокруг связи С—С. Определены значения вращательных постоянных и постоянных квадрупольной связи ядер брома. По относит. интенсивности линий основного и возбужденных состояний оценены энергии первых двух возбужденных состояний крутильного колебания (127 и 211  $\text{см}^{-1}$  соответственно). М. Р. Аллев

М. П.,  $\xi_i$

Ф. 1982, 18, № 4.

$\text{CH}_2\text{CH}_2\text{Br}^+$

1981

5 Б1151. Квантовохимическое исследование электрофильного присоединения. Часть IV. Реакция брома с этиленом. Poirier Raymond A., Mezey Paul G., Yates Keith, Csizmadia Imre G. Quantum chemical studies on electrophilic addition. Part IV. Reaction of bromine with ethylene. «J. Mol. Struct.», 1981, 85, № 1—2 («Teochem», 1981, 2, № 1—2), 153—158 (англ.)

С помощью неэмпирич. квантовохим. расчетов проведено моделирование процесса электрофильного присоединения брома к этилену. Рассчитаны геометрич. и электронная структуры циклич. промежут. продукта присоединения  $\text{Br}^+$  к этилену и линейного бромониевого иона  $\text{CH}_2\text{CH}_2\text{Br}^+$ . Показано, что циклич. структура на 30 ккал/моль (расчет в базисе STO—3G) или на 15 ккал/моль (расчет в расширенном базисе) более устойчива. Приведены данные по изменению электронной энергии системы вдоль координаты р-ции. Образование промежут. продукта циклич. структуры, как показывают расчеты пути р-ции, происходит в результате внутримолек. трансформации бромониевого иона за счет вращения Br и группы  $\text{CH}_2$  вокруг связи C—C.

Р. П. Тигер

геометр,  
структура

X.1982, 19, N5

C<sub>6</sub>H<sub>5</sub>Br

[Ommuck 14108]

1982

Niessen W., Asbrink Z.

Bieri G.,

фотоджекп.

J. Electron. Spectrosc.

спектр.

and Relat Phenom

● 1982, 26, N2,

173-201

C.A. 1978, 89, N26.

$\text{BrH}_2\text{C}-\text{CH}_2\text{Br}$

[Dmuck 13947]

1982

Scharfenberg P., Margittai J.

ИОН-ОМПУТ, Институт für Wirkstoffor-  
meopem. pac- Schung der Akademie der  
rem. Wissenschaften der DDR,  
1136, Berlin-Friedrich-  
sfelde.

$C_3H_5Br$

1982

1) 18 Б88. Молекулярная структура и конформационное строение 3-бромпропена, определенные методом газовой электронографии. Schei Helene, Shen Qun-g. The molecular structure and conformational composition of 3-bromopropene as determined by gas-phase electron diffraction. «J. Mol. Struct.», 1982, 81, № 3—4, 269—276 (англ.)

Методом газовой электронографии изучена молекула

геометрия,  
структура

$C_3H_5Br$  при  $t$ -рах 50 и 150° С. Найдены следующие значения межъядерных расстояний (А) и валентных углов: C—H 1,078(15), 1,08(2), C=C 1,335(7), 1,340(7), C—C 1,485(8), 1,502(9), C—Br 1,961(6), 1,969(6),  $\angle C=C=C$  126,0(2,6), 125,0(3,5), CCBr 111,5(,08), 110,4(1,2),  $\angle H-C=C$  122,122,  $\angle HCC$  109,5 и 109,5 при 50 и 150° С соотв. При обеих  $t$ -рах присутствует смесь син- и гош-изомеров, причем гош-форма составляет 86 и 75% при 50 и 150° соотв. Торсионный угол гош-формы 117° (5). Т. В. Тимофеева

х. 1982, 19, N 18.

Соединение Вг

1983

[CaH<sub>4</sub>Br]<sup>+</sup>

13 B1009. Основные состояния молекул. 64. Расчеты модифицированным методом пренебрежения дифференциальным перекрытием (МПДП) соединений, содержащих бром. Ground states of molecules. 64. MNDO calculations for compounds containing bromine. Dewar Michael J. S., Healy Eamon. «J. Comput. Chem.», 1983, 4, № 4, с. 542—551 (англ.)

Подобраны параметры для брома в методе МПДП. Эти параметры определены так, чтобы воспроизвести теплоты образования  $\Delta H_f$ , равновесную геометрию, потенциалы ионизации  $I_p$  и дипольные моменты 10 соединений одновалентного брома. Отмечено, что для описания электронного строения соединений Вг в высших степенях окисления необходим учет 3d-АО, к-рые не включены в базис МПДП. С помощью подобранных параметров проведен расчет электронного строения 54 бромсодержащих соединений. Среднее отклонение рас-

расчет М.А.,  
геометр.,  
структ.

Х. 1984, 19, № 13

считанных значений  $\Delta H_f$  по сравнению с экспериментом равно 7,2 ккал/моль, максим. отклонение меньше 20 ккал/моль. Значения  $I_p$  для 24 молекул оценены по теореме Купманса: вычисленные значения  $I_p$  завышены по сравнению с экспериментальными; средняя ошибка составляет 0,92 эВ. Введена полуэмпирич. поправка для  $I_p$ , зависящая от вклада орбиталей Вг в МО, с к-рой происходит ионизация. Ошибка рассчитанных с учетом этой поправки значений  $I_p$  в среднем составляет 0,3 эВ. Вычисленные значения валентных углов хорошо согласуются с эксперим. данными, тогда как отклонения оптим. длин связей достигают 0,15 А в случаях, когда помимо связи Вг—Х имеется также  $\pi$ -связь Х—У. Обсуждены результаты расчета равновесной геометрии катиона  $[\text{C}_2\text{H}_4\text{Vg}]^+$ . Расчет предсказывает большую устойчивость симметричной структуры с мостиковым атомом Вг по сравнению со структурами с терминальным атомом Вг.

О. Гриценко



CH<sub>2</sub>Br

от 19461 1984

1 Л311. Первые полосы в фотоэлектронных спектрах CH<sub>2</sub>Br, CD<sub>2</sub>Br, CHBr<sub>2</sub> и CH<sub>2</sub>I свободных радикалов. The first bands in the photoelectron spectra of the CH<sub>2</sub>Br, CD<sub>2</sub>Br, CHBr<sub>2</sub>, and CH<sub>2</sub>I free radicals. Andrews Lester, Dyke John M., Jonathan Neville, Keddar Noureddine, Morris Alan. «J. Phys. Chem.», 1984, 88, № 10, 1950—1954 (англ.)

Методом фотоэлектронной спектроскопии изучены реакции атомов фтора с молекулами CH<sub>3</sub>X и CH<sub>2</sub>X<sub>2</sub> (X=Br, J). Новая структурная полоса с адиабатическим  $8,61 \pm 0,01$  эв и вертикальным  $8,72 \pm 0,01$  эв потенциалами ионизации отнесена к свободному радикалу CH<sub>2</sub>Br. Наблюдаемая в полосе структура ( $860 \pm \pm 30$  см<sup>-1</sup>  $\nu' = 0-1$ ) отнесена к C—Br вал. кол. в основном состоянии CH<sub>2</sub>Br<sup>+</sup>, что больше, чем значение  $693$  см<sup>-1</sup>, полученное для CH<sub>2</sub>Br в Ar-матрице. Для

спектр, Di,

М.П;

73

фр. 1985, 18, n1

первой полосы  $CD_2Br$  обнаружены прогрессии симметричных  $C-Br$  валентных ( $780 \pm 30 \text{ см}^{-1}$ ) и  $CD_2$  деформационных ( $1130 \pm 30 \text{ см}^{-1}$ ) колебаний. Для свободных радикалов  $CHBr_2$  и  $CH_2I$  найдены бесструктурные полосы при  $8,41 \pm 0,03$  и  $8,52 \pm 0,03$  эВ соответственно.

А. В. Головин

CH<sub>2</sub>Br

от 19461

1984

23 Б1150. Первые полосы в фотоэлектронных спектрах свободных радикалов CH<sub>2</sub>Br, CD<sub>2</sub>Br, CHBr<sub>2</sub> и CH<sub>2</sub>I. The first bands in the photoelectron spectra of the CH<sub>2</sub>Br, CD<sub>2</sub>Br, CHBr<sub>2</sub>, and CH<sub>2</sub>I free radicals. Andrews L., Dyke J. M., Jonathan N., Kedjar N., Morris A. «J. Phys. Chem.», 1984, 88, № 10, 1950—1954 (англ.)

у геометр.  
структ.

X. 1984,  
N 23

(43)

С использованием многоканального детектора электронов измерены фотоэлектронные спектры (ФЭС) с возбуждением излучениями He-I и Ne-I для продуктов р-ции молекул CH<sub>3</sub>Br, CD<sub>3</sub>Br, CH<sub>2</sub>Br<sub>2</sub>, CH<sub>3</sub>I и CH<sub>2</sub>I<sub>2</sub> с атомами F, образованными путем зажигания микроволнового разряда в смеси 5% F<sub>2</sub>/He. Измерения ФЭС проведены при различных эксперим. условиях, определяющихся величиной потока атомов F и расстоянием между местом встречи последних с молекулами и камерой ионизации. В полученных ФЭС выделены особенности, связанные с фотоионизацией свободных радикалов CH<sub>2</sub>Br (I), CD<sub>2</sub>Br (II), CHBr<sub>2</sub> (III) и CH<sub>2</sub>I (IV). Для I значения первого адиабатич. и верти-

кального потенциала ионизации (ПИ) равны 8,61 и 8,72 эВ соотв. Колебательная структура первой полосы в ФЭС I объяснена возбуждением валентных колебаний C—Br иона  $\text{C}_2\text{H}_5\text{Br}^+$  с частотой  $860 \pm 30 \text{ см}^{-1}$ . Увеличение частоты колебаний по сравнению с лит. данными для радикала I в матрице Ag свидетельствует о более сильной связи C—Br в катионе. В ФЭС II колебательная структура первой полосы объяснена возбуждением валентных (C—Br) и симметрич. ножничных ( $\text{CD}_2$ ) колебаний с частотами  $780 \pm 30$  и  $1130 \pm 30 \text{ см}^{-1}$  соотв. Для радикалов III и IV обнаружены первые полосы с неразрешенной структурой, соотв. значениям вертикальных ПИ  $8,41 \pm 0,03$  и  $8,52 \pm 0,03$  эВ. Слабая зависимость первых ПИ замещенных свободных метильных радикалов  $\text{C}_2\text{H}_5\text{X}$ ,  $\text{C}_2\text{H}_4\text{X}_2$  ( $\text{X} = \text{CH}_3, \text{F}, \text{Cl}, \text{Br}, \text{J}$ ) от природы X (по измеренным и лит. данным) объяснена преимущественной локализацией неспаренного электрона на атоме углерода.

О. А. Басченко

CH4-x Brx

(DM-20554)

1984

Aron Z., Bunnell Z., Ford T.A.,

Z. Mol. Struct., 1984,

110.

110, N3-4, 361-379.

$\text{CH}_3\text{CH}_2\text{CH}_2\text{Br}$

[om. 19482]

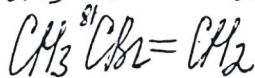
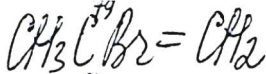
1984

Durig J.R., Godbey S.E.,  
et al.,

J. Chem. Phys., 1984,  
80, N12, 5983-5993.

ганцый  
лек спектр,  
Раман.  
спектр





DM. 19665 1984

5 Б1231. Анализ внутреннего вращения в микроволновом спектре основного состояния 2-бромпропена. Internal rotation analysis of the ground state microwave spectrum of 2-bromopropene. Fliege E., Dreizler H. «Z. Naturforsch.», 1984, A39, № 7, 637—645 (англ.)

На МВ-фурье-спектрометре в области частот 8—18 ГГц с высокой точностью измерены вращательные спектры двух изотопич. образцов 2-бромпропена,  $\text{CH}_3\text{C}^{79}\text{Br}=\text{CH}_2$  (I) и  $\text{CH}_3\text{C}^{81}\text{Br}=\text{CH}_2$  (II), в основном колебательном состоянии. Анализ спектров выполнен в приближении модели асимм. волчка с учетом одной квартичной постоянной центробежного искажения, внутреннего заторможенного вращения метильной группы и Вг-ядерного квадрупольного взаимодействия. Вращательные постоянные I и II, соотв., равны (МГц):  $A=9256,00(10)$  и  $9255,942(78)$ ,  $B=3138,011(26)$  и  $3112,878(18)$ ,  $C=2375,879(26)$  и  $2361,434(18)$ . Анализ квадрупольной СТС выполнен для переходов вплоть

м.п., геометр.  
стр., Ко

х. 1985, 19, 45

до  $J=20$  методом диагонализации матрицы гамильтониана. Постоянные квадрупольного взаимодействия I и II соотв. равны (МГц):  $\chi_{bb} + \chi_{cc} = -534,474(53)$  и  $-446,653(71)$ ,  $\chi_{bb} - \chi_{cc} = -38,222(59)$  и  $-31,546(89)$ . Анализ внутреннего вращения выполнен в предположении, что взаимодействие с ядерным квадрупольным взаимодействием отсутствует и параметр момента инерции внутреннего волчка фиксирован. Для обоих образцов I и II углы между а-осью инерции молекулы и осью симметрии внутреннего волчка  $57,8(34)^\circ$  и  $56,9(48)^\circ$  и барьеры внутреннего вращения  $V_3 = 2571(49)$  и  $2558(74)$  кал/моль совпадают в пределах эксперим. точности. При ряде допущений выполнен модельный расчет  $r_0$ -структуры 2-бромпропена. Полученные результаты согласуются с известными данными для 2-фторпропена и 2-хлорпропена. С. Н. Мурзин

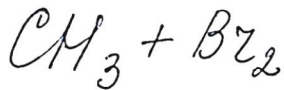
C<sub>2</sub>HBr

1984

( $\tilde{A}^2\Pi_{3/2} - \tilde{X}^3\Sigma_{3/2}$ )  
Franz  
am  
arany

102: 102794d Rotational analysis of the  $A^2\Pi_{3/2} \leftarrow X^2\Pi_{3/2}$  laser excitation spectra of the bromoacetylene and deuterobromoacetylene cations. King, Michael A.; Maier, John P.; Misy, Liubomir; Ochsner, Martin (Inst. Phys. Chem., Univ. Basel, CH-4056 Basel, Switz.). *Can. J. Phys.* 1984, 62(12), 1437-51 (Eng). High-resoln. laser excitation spectra of the  $A^2\Pi_{1/2} \leftarrow X^2\Pi_{3/2} 3_0^+$  ( $\nu = 0-4$ ) bands of the bromo- and deuterobromoacetylene cations were recorded and rotationally analyzed. The new data were compared with those for the neutral mol. and discussed in terms of electronic structure.

c.A. 1985, 102, N12



1984

Kovalenko Laurie J.,  
Leone Stephen R.

J. Chem. Phys., 1984,  
80, N8, 3656-3667.

(see  $\bullet$   $\text{CH}_3 + \text{Cl}_2$ ; III)



1984

5 Л188. Микроволновый спектр, структура и тензор квадрупольной связи скошенного конформера 3-бромпропена. Microwave spectrum, structure and quadrupole coupling constant tensor of skew-3-bromopropene. Niide Yuzugui. «J. Sci. Hiroshima Univ.», 1984, A48, № 1, 23—74 (англ.)

В диапазоне 8—30 ГГц исследованы МВ-спектры 15 изотопич. разновидностей молекулы  $\text{CH}_2 = \text{CHCH}_2\text{Br}$ . Идентифицированы линии вращательных переходов с  $J \leq 12$  основного колебательного состояния и квадрупольная СТС линий. Определены значения вращательных и квартичных центробежных постоянных и постоянных квадрупольной связи ядер брома-79 и 81. Вычислены структурные параметры 3-бромпропена.

М. Р. Алиев

М. П.

ср. 1985, 18, N5

BK CCCCHE [Om. 22246] 1984

Sabapathy K., Ramasamy R.,  
et al,

M.N.  
meop.  
pacerem.

Indian J. Phys., 1984, 58B,  
N 2, 117-122.

HC=CB<sub>2</sub>

[om. 22246]

1984

DC=CB<sub>2</sub>

Sabapathy K., Ramasamy R.,  
et al,

Indian J. Phys., 1984, 58B,  
N2, 117-122.

U.R.  
meop.  
pacrem.

$\text{CH}_3\text{C}=\text{CB}_2$  /Om. 22246/

1984

Sabapathy K., Ramasamy R.,  
et al,

M.N.  
meop.  
pocrem.

Indian J. Phys., 1984, 58B,  
N2, 117-122.

$C_2H_2Br^*$

1985

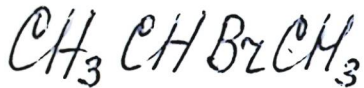
9 Б1257. Структура бромвинильного радикала. Изучение методом изоляции в матрице. Structure of the bromovinyl radical: a matrix isolation study. Engdahl A., Nelander B. «J. Chem. Soc. Perkin Trans.», 1985, PT2, № 11, 1747—1750 (англ.)

Измерены ИК-спектры поглощения продуктов, образующихся при соконденсации ( $T=17$  К) ацетилена и ацетилена- $d_1$  и  $-d_2$  с бромом в Ag при различных условиях и разбавлениях. В спектре матрицы подвергавшейся облучению (источник не назван) в процессе ее формирования наблюдались новые полосы 494,6; 793,6; 1120,4; 1564,4; 3093,8  $cm^{-1}$ , отнесенные к радикалу  $C_2H_2Br^*$  (приведены также полосы радикалов  $C_2D_2Br^*$  и  $C_2HDBr^*$  и относит. интенсивности полос). Обсуждены возможные варианты отнесения полос. Полученные результаты сопоставлены с ИК-спектрами и значениями частот колебаний молекулы винилфторида, фторвинильного радикала и их дейтеропр-ных. Сделан вывод, что радикал  $C_2H_2Br^*$  существует в матрице в виде 2 изомеров с несимм. расположением атома Br относительно атомов C.

В. М. Ковба

М.П., Ви.

X. 1986, 19, N 9



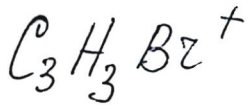
1985

Fang-Wren J. C., Setser  
D. W., et al.

ИК много-  
ротон. по-  
лощем. и  
разложе-  
ние

J. Phys. Chem., 1985,  
89, N 3, 414-426.

(см.  $\bullet$   $\text{CF}_3\text{CH}_2\text{Br}$ ; III)



1985

Krailler R. E., Russell  
D. H.

m.n. Int. J. Mass Spectrom.  
and Ion Process., 1985,  
66, N3, 339-357.  
(see  $\text{C}_3\text{H}_3\text{Cl}^+$ ; iii)

$C_6H_5Br$

1985

Milhaud J.

Chem. Phys. Lett.,

1985, 118, N2, 167-

-173.

See;

(see  $C_6H_5Cl$ ; III)

$AB^2C = CA^2B$

[От. 2232.9]

1985

$AB^2C = CA^2B$

Яковлев Н.Н., Богучин

$AB^2C = CA^2B$

И.А. и др.,

Методские  
колебания  
потенц.

Вестн. МГУ. Физмат,  
1985, 26, N 5, 454-458.

ор-иц  
внутрен-  
него вра-  
щения



$HBrC = CHBr$

[От. 2.2.3.2.9]

1985

$DBrC = CDBr$

Яковлев Н. Н., Тодунов И. А.

Менлоокские  
колебания  
потемиз.  
гр-ии

и др.,

Вестн. АН УССР. Серия,

внутрен-  
него вра-  
щения.

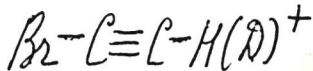
1985, 26, N 5, 454-458.

$(\text{CH}_3)_2\text{CHCH}_2\text{Br}$  (DM-24946) 1986

далекый ИК  
и мизко-  
частотн.  
Роман.  
спектр

Durig J. R., Sullivan J. F.,  
Bodvey S. E.,  
J. Mol. Struct., 1986,  
146, 213-236.





от 24141

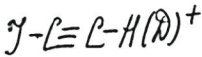
1986

20 Б1152. Спектры излучения галоацетиленовых катионов при сверхзвуковом охлаждении:  $\text{X}-\text{C}\equiv\text{C}-\text{H}(\text{D})^+$ ,  $\text{X}=\text{Br}$ , J. Emission spectra of supersonically cooled haloacetylene cations:  $\text{X}-\text{C}\equiv\text{H}(\text{D})^+$ ,  $\text{X}=\text{Br}$ , J. Fullara J., Klapstein D., Kuhn R., Maier J. P. «J. Phys. Chem.», 1986, 90, № 10, 2061—2067 (англ.)

спектры излучен.

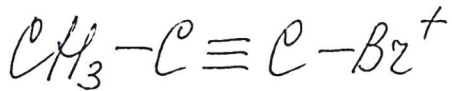
Исследованы системы полос излучения в обл. перехода  $\bar{A}^2\Pi-\bar{X}^2\Pi$  вращательно-охлажденных бром- и йодацетиленовых катионов, а также их дейтерированных пр-ных при возбуждении электронным ударом в сверхзвуковой свободной струе гелия. Благодаря низкой вращат. т-ре ( $\approx 5$  К), приводящей к сужению полос и разрешению изотопич. расщепления, проведен колебат. анализ спектров. Отождествлены все переходы, принадлежащие к системе компонент  $\Omega=3/2$ . В результате сопоставления настоящих данных и полученных ранее из спектров при лазерном возбуждении определены почти все частоты основных колебаний катионов в состояниях  $\bar{X}^2\Pi_{3/2}$  и  $\bar{A}^2\Pi_{3/2}$  с точностью  $\pm 2$  см<sup>-1</sup>.

Н. Н. Морозов



(X) (H)

X. 1986, 19, N 20



1986

Klapstein D., Kuhn R.,  
et al.

Chem. Phys., 1986, 101,  
N1, 133-146.

(see  $\text{CH}_3-\text{C}\equiv\text{C}-\text{X}^+$ ; III)

u.n.

$\text{CH}_3\text{C}:\text{CBz}$

1986

Klapstein Dieter, Kuhn  
Robert, et al.

спектр  
лазерн.  
возбужд.  
 $\tilde{\chi}^2 E_4 A^2 \Sigma$ ,  
и.п.

Chem. Phys. 1986,  
101(1), 133-46.

(см.  $\text{CH}_3\text{C}:\text{CCl}$ ; III)

$C_6Br_3H_3$

1986

104: 213561m Electron diffraction study of the structure of sym-tribromobenzene. Novikov, V. P.; Sokolkov, S. V.; Golubinskii, A. V.; Vilkov, L. V. (Mosk. Univ., Moscow, USSR). *Zh. Strukt. Khim.* 1986, 27(1), 50-4 (Russ). The structural parameters of sym-tribromobenzene detd. by electron diffraction  $r(C-C)$  and  $r(C-Br)$  are 1.395(4) and 1.876(4) Å, resp., and the CCC angle is 120.4(0.8)°. The force consts. and mol. vibrations were calcd. The Br atoms do not affect appreciably the geometry of the benzene ring.

Эн. группа.  
исследов.

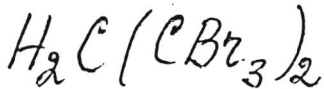
C. A. 1986, 104, N 24

$\text{Br}_2\text{C}(\text{CH}_3)_2$  1986

Stølevik Reidar,  
Bakken Pirkko.

ser. n. J. Mol. Spect., 1986,  
145, N3-4, 287-295.

(ser.  $\text{H}_2\text{C}(\text{CF}_3)_2$ ; III)

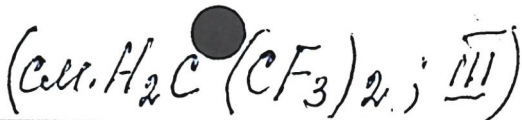


1986

Stølevik Reidar,  
Bakken Pirkko.

sp. n.

γ-Mol. Street, 1986,  
145, N3-4, 287-295.



$(\text{BrH}_2\text{C})_2\text{C}(\text{CH}_3)_2$  (DM-24060) 1986

Stølevik R., Bakken P.,

конформі-  
анализ,  
сши. пост.,  
мол. структ.,  
теор. расчеб

J. Mol. Struct., 1986,  
144, N 3-4, 301-307.

$\text{CH}_2\text{Br}_2$  (amgk.)

1987

(CXP)

106: 146302d Raman spectra of halogen-substituted methanes in the liquid state. 3 - Temperature effects. Fukushi, Kohji; Fukuda, Takuya; Kimura, Masao (Fac. Sci., Hokkaido Univ., Sapporo, Japan 060). *J. Raman Spectrosc.* 1987, 18(1), 47-52 (Eng). The effect of temp. on the peak positions, the isotropic and reorientational band widths and the depolarization ratios of the Raman bands for the totally sym. vibrations of  $\text{CHCl}_3$ ,  $\text{CH}_2\text{Cl}_2$ ,  $\text{CH}_2\text{Br}_2$ ,  $\text{MeBr}$ ,  $\text{MeI}$ , and  $\text{CD}_3\text{I}$  was measured in the liq. state. The isotropic band width for a C-X stretching vibration decreases with increasing temp. for mol. with only 1 C-X bond, whereas it increases for a mol. with 2 or 3 equiv C-X bonds. The isotropic band width for the deformation vibrations decreases with increase in temp. For all the bands, the depolarization ratios depend only slightly on temp.

(75)

~~106~~

$\text{CHCl}_3$  (al),

$\text{CH}_2\text{Cl}_2$  (al),

$\text{CH}_3\text{Br}$  (al)

$\text{CH}_3\text{I}$  (al),

$\text{CD}_3\text{I}$  (al)

C.A. 1987, 106, NTP

C<sub>6</sub>H<sub>2</sub>Br<sub>4</sub>

1987

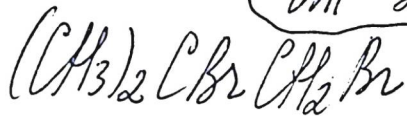
108: 64970x Raman and infrared spectra and fundamental frequencies of 1,2,4,5-tetrabromobenzene. Yadav, R. A.; Shanker, R. (Dep. Phys., Banaras Hindu Univ., Varanasi, 221005 India). *J. Raman Spectrosc.* 1987, 18(8), 555-9 (Eng). The Raman spectrum of 1,2,4,5-tetrabromobenzene was recorded in powder form in the region 100-4000 cm<sup>-1</sup> and the IR spectra in nujol mull and a CsI pellet in the region 200-4000 cm<sup>-1</sup>. Tentative vibrational assignments are proposed assuming *D*<sub>2h</sub> point group symmetry. Observation of a no. of overtone and combination bands enabled the inactive fundamentals and those fundamentals which were not obsd. exptl. to be estd.

(CKP, UK, Vi)

C.A. 1988, 108, N 8

(Dm. 30960)

1988



Browder F.A.;

Смесь  
кофеина -  
(M)

g. Mol. Street. 1988,  
178, 339-341.

$\text{BrH}_2\text{CCCH}$

от 28906 1988

7 Л180. Эффекты ядерного квадрупольного взаимодействия и центробежного искажения в микроволновом спектре пропаргилбромида,  $\text{BrH}_2\text{CCCH}$ . Effects of nuclear quadrupole coupling and centrifugal distortion in the microwave spectrum of propargyl bromide,  $\text{BrH}_2\text{CCCH}$ . Duffy P. K. J., Hwang Christine, Cramb David T., Lewis-Bevan W., Gerry M. C. L. «J. Mol. Spectrosc.», 1988, 127, № 2, 549—555 (англ.)

Изучен микроволн. спектр молекулы  $\text{BrH}_2\text{CCCH}$  в области 20—54 ГГц с использованием спектрометра со штарковской модуляцией. Для двух изотопич. модификаций, содержащих  $^{79}\text{Br}$  и  $^{81}\text{Br}$ , измерена сверхтонкая структура ряда вращательных линий с вращательными квантовыми числами 6—20. Особое внимание обращено на ранее обнаруженную аномалию в структуре вращательного перехода  $^{121,11} \leftarrow ^{120,12}$ . Анализ данных выполнен с помощью эффективного вращательного гамильтониана, записанного в S-редуцированной форме с точностью до квартичных членов. Определены также параметры тензора квадрупольного взаимодействия.

Е. А. Ж.

М. П.

Ф. 1988, 18, N 7

ВН<sub>2</sub>СССН

ОМ, 28908

1988

15 Б1351. Эффекты ядерного квадрупольного взаимодействия и центробежного искажения в микроволновом спектре пропаргилбромида,  $\text{BrH}_2\text{CCCH}$ . Effects of nuclear quadrupole coupling and centrifugal distortion in the microwave spectrum of propargyl bromide,  $\text{BrH}_2\text{CCCH}$ . Duffy P. K. J., Hwang C., Cramb D. T., Lewis-Bevan W., Gerry M. C. L. «J. Mol. Spectrosc.», 1988, 127, № 2, 549—555 (англ.)

На автоматизированном штарковском микроволновом (МВ) спектрометре в обл. частот 20—54 ГГц с точностью около 0,05 МГц измерены вращат. спектры двух изотопич. образцов пропаргилбромида,  $^{79}\text{BrH}_2\text{CCCH}$  (I) и  $^{81}\text{BrH}_2\text{CCCH}$  (II), в основном колебат. состоянии. Анализ МВ-спектров выполнен с использованием гамильтониана Уотсона в А- и S-редукциях с учетом квартичного центробежного искажения и Br-ядерного квадрупольного взаимодействия. По сравнению с ранее выполненными МВ-измерениями (Kikuchi Y. et al., «J. Chem. Phys.», 1959, 31, 1139; «Bull. Chem. Soc. Japan.»,

М.А.

X. 1988, 19, N 15.

1961, 34, 348) уточнены значения вращат. постоянных для I и II, соотв., в МГц  $A=21010,306(12)$  и  $20986,383(15)$ ,  $B=2169,3287(10)$  и  $2154,41049(64)$ ,  $C=1989,0591(11)$  и  $1976,29845(73)$ , впервые определены кватичные постоянные и существенно уточнены диагональные и недиагональные постоянные ядерного квадрупольного взаимодействия. С учетом близости к цилиндрич. симметрии C—Bγ связи определен ее ионный характер 0,22. С. Н. Мурзин



BrH<sub>2</sub>CCCH

(Dm. 28906)

1988

108: 64987h Effects of nuclear quadrupole coupling and centrifugal distortion in the microwave spectrum of propargyl bromide, BrH<sub>2</sub>CCCH. Duffy, P. K. J.; Hwang, Christine; Cramb, David T.; Lewis-Bevan, W.; Gerry, M. C. L. (Dep. Chem., Univ. British Columbia, Vancouver, BC Can. V6T 1Y6). *J. Mol. Spectrosc.* 1988, 127(2), 549-55 (Eng). The microwave spectrum of propargyl bromide was recorded and the measured transitions of the <sup>79</sup>Br and

<sup>81</sup>Br isotopic species are given. The accuracies of the rotational and quadrupole consts. were clearly improved and the quartic distortion consts. were detd. for the first time. If it is assumed that the C-Br bond has essentially zero  $\pi$ -character, then simple application of the Townes-Dailey theory gives 0.22 as its ionic character..

(40 cramp)

C.A. 1988, 108, N 8



1988

109: 239631n The conformations and vibrational spectra including matrix isolation of 1,3-dibromo-2,2-dimethylpropane. Gatjal, A.; Klæboe, P.; Nielsen, C. J.; Powell, D. L. (Dep. Chem., Univ. Oslo, 0315 Oslo, Norway). *Croat. Chem. Acta* 1988, 61(2), 375-89 (Eng). The IR spectra of  $(\text{BrCH}_2)_2\text{C}(\text{OH}_2)_2$  as a liq. and as 2 cryst. solids obtained at low temp. and at high pressure were recorded. Addnl. IR spectra of this compd., matrix isolated in Ar and  $\text{N}_2$  at 14 K, were obtained using nozzle temps. of 300, 450, and 700 K. Raman spectra including polarization measurements were recorded at 230-340 K. Cryst. solids were obtained by freezing the liq. and by shock freezing the vapor at 85 K with subsequent annealing. The GG and AG conformers were present in the low temp. and high pressure crystals, resp., and the enthalpy differences were 5.6 (liq.) and 4.2  $\text{kJ mol}^{-1}$  (vapor) with GG being the more stable. An addnl. conformer AA was detected in the liq. and in the matrix isolated spectra, being  $\sim 6.4$  and  $\sim 6.5$   $\text{kJ mol}^{-1}$  less stable than GG in the liq. and vapor, resp. Vibrational assignments of the GG and AG spectra are presented, supported by a normal coordinate anal.

lik & damp,  
ΔH konformasi-

C.A. 1988, 109, N 26

$C_3H_5Br$

1988

Heineking N., Stahl W.  
et al.

Z. Naturforsch., 1988,  
A43, N3, 280-282.

u.n.

(see  $\bullet$   $CH_3CH_2F$ ; iii)

Br-(C<sub>6</sub>H<sub>6</sub>) [OM. 29629] 1988

Hiraoaka K., Mizuse S.,  
Yamabe S.

сентябрьн.,  
сентябрьн.

Chem. Phys. Lett., 1988,  
147, N 2-3, 174-178.

Determination of the  
stabilities and structures

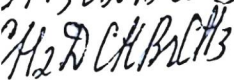
of  $X^-(C_6H_6)$  clusters ( $X = Cl,$   
Br and I).

$C_4H_7Bz^+$  [om. 30490] 1988

$(H(C\equiv C)_2Bz^+)$  Jacob M. E.,

Ti, Pi; J. Phys. and Chem. Ref.  
Data, 1988, 17, N 2,

492.



Уб сироп,  
спу & мура,  
и.и.

Om. 32573

1989

Ikeda Ch., Inagusa T.,  
Hayashi M.,

J. Mol. Spectrosc.,  
1989, 135, No. 334-  
348 ●

BrHCCO\* (Dm. 32614) 1989

Westwood N.P.C.,  
Lewis - Bevan W., Perry  
M.C.L.,

UV спектры,  
структура  
и т.д.

J. Mol. Spectrosc.  
1989, 136, N 1, 93-104.

C-Br-K cas. [OM. 32952]

1989

Stavnebrekk P. J.,  
Stølevik R.,

Суд. пост.,  
Структура

J. Mol. Struct., 1989,  
213, 279-292.

$(\text{CH}_3)_3\text{CBr}$

1990

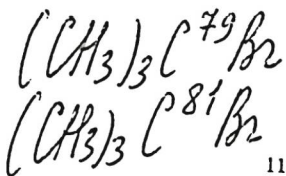
→ 6 Б1281. Сверхтонкая структура во вращательном спектре трет-бутилбромида. Hyperfine structure in the rotational spectrum of tert-butyl bromide / Harder H., Stahl W., Dreizler H. // Z. Naturforsch. A.— 1990.— 45, № 6.— С. 807—810.— Англ.

На микроволновом (МВ) фурье-спектрометре с волноводной ячейкой в области частот 4—20 ГГц с разрешением около 5 кГц измерены вращат. спектры двух изотопич. образцов трет-бутилбромида,  $(\text{CH}_3)_3\text{C}^{79}\text{Br}$  (I) и  $(\text{CH}_3)_3\text{C}^{81}\text{Br}$  (II), в основном колебат. состоянии. Анализ МВ-спектров выполнен в приближении модели симм. волчка с учетом квартичного центробежного искажения, ядерного квадрупольного вз-вия и спин-вращат. вз-вия. Для I и II, соотв., определены вращат. постоянные  $B=2044,2400$  (2) и  $2028,3777$  (1) МГц, квадрупольные постоянные  $eQ_q=511,987$  (4) и  $427,708$  (3) МГц и спин-вращат. постоянные  $C_N=4,7$  (3) и  $5,8$  (2) кГц,  $C_K=1,0$  (7) и  $0,8$  (5) кГц. Полученные МВ-результаты существенно уточняют ранее выданные измерения. С. Н. Мурзин

М.Л.

X.1991, N6

1990



113: 141086w Hyperfine structure in the rotational spectrum of tert-butyl bromide. Harder, H.; Stahl, W.; Dreizler, H. (Inst. Phys. Chem., Univ. Kiel, D-2300 Kiel, Fed. Rep. Ger.). *Z. Naturforsch., A: Phys. Sci.* 1990, 45(6), 807-10 (Eng). The rotational spectra of tert-Bu bromide  $(\text{CH}_3)_3\text{C}^{79}\text{Br}$  and  $(\text{CH}_3)_3\text{C}^{81}\text{Br}$  were reinvestigated with high precision of microwave Fourier transform spectroscopy. The rotational and quadrupole coupling consts. were improved, the centrifugal distortion and bromine spin-rotation consts. were detd.

frauzam.  
no cover.

C. A. 1990, 113, N16

$C_3H_5Br$

11 Б1301. Новое определение спектроскопических постоянных циклопропилбромида через возмущения в Br квадрупольной сверхтонкой структуре в его микроволновом спектре. Refinement of the spectroscopic constants of cyclopropyl bromide via perturbations in the Br quadrupole hyperfine structure in its microwave spectrum / Li F., Gerry M. C. L., Lewis-Bevan W. // J. Mol. Spectrosc.— 1990.— 144, № 1.— С. 51—69.— Англ.

1990  
0661

М.Л.

На штатковском микроволновом (МВ) спектрометре в области частот 8—90 ГГц с точностью 0,50 МГц измерены вращат. спектры двух изотопич. образцов циклопропилбромида,  $C_3H_5^{79}Br$  (I) и  $C_3H_5^{81}Br$  (II), в основном колебат. состоянии. Анализ МВ-спектров выполнен с использованием гамильтониана Уотсона в S-редукции с учетом квартичного центробежного искажения и Br-ядерного квадрупольного вз-вия. В результате получены уточненные значения вращат. постоянных для I и II, соотв. в МГц  $A=16334,244$  (17) и  $16333,03$  (2),  $B=2579,9204$  (4) и  $2650,5404$  (6),  $C=2457,7159$  (4) и  $2440,1495$  (4), и постоянных квадрупольного вз-вия в МГц  $\chi_{aa}=463,9$  (2) и  $388,2$  (2),  $\chi_{bb}-\chi_{cc}=-105,89$  (7) и  $-88,30$  (7),  $|\chi_{ac}|=266,4$  (3) и  $222,0$  (3).

С. Н. Мурзин

Х. 1991, N 11

C<sub>3</sub>BrH<sub>2</sub>

1990

113: 240429s Refinement of the spectroscopic constants of cyclopropyl bromide via perturbations in the bromine quadrupole hyperfine structure in its microwave spectrum. Li, Hao; Gerry, M. C. L.; Lewis-Bevan, W. (Dep. Chem., Univ. British Columbia, Vancouver, BC Can. V6T 1Y6). *J. Mol. Spectrosc.* 1990, 144(1), 51-69 (Eng). The microwave spectra of 2 isotopic species of cyclopropyl bromide is measured in the frequency region 8-90 GHz. Since the mol. is slightly asym. prolate rotor with strong a-type and weak c-type transitions, it was necessary to use perturbations in the Br quadrupole hyperfine structure of the a-type transitions to improve the accuracy of A<sub>0</sub> and reduce the search region for the c-type lines. All rotational, quartic centrifugal distortion, and Br nuclear quadrupole coupling const. were evaluated. The rotational const. are compared with those calcd. from published structures.

Циклопро-  
пилбромид

МВ спектр  
М.Л.

С.А. 1990, 113, N 26

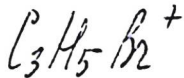
Cy Hg Br

1990

113: 161412c Microwave spectrum and quadrupole coupling constant tensor of gauche-isobutyl bromide. Niide, Yuzuru; Ohkoshi, Ichiro (Dep. Math. Phys., Natl. Def. Acad., Yokosuka, Japan 239). *J. Mol. Spectrosc.* 1990, 142(2), 227-37 (Eng). Microwave spectra of iso-Bu bromide were measured in the frequency region 10-38 GHz. Only a-type R-branch transitions of one conformer, gauche, were assigned. Two hundred and twelve quadrupole hyperfine component spectra were measured for the 53 transitions of the  $^{79}\text{Br}$  species and 209 quadrupole hyperfine component spectra for the 54 transitions of the  $^{81}\text{Br}$  species. The rotational consts. of the ground vibrational state were detd. to be  $A = 7483.20 \pm 0.28$ ,  $B = 1411.1193 \pm 0.0057$ , and  $C = 1250.5110 \pm 0.0056$  MHz for the  $^{79}\text{Br}$  species, and  $A = 7481.46 \pm 0.51$ ,  $B = 1398.8895 \pm 0.0043$ , and  $C = 1240.8924 \pm 0.0053$  MHz for the  $^{81}\text{Br}$  species. From the quadrupole hyperfine splittings of the bromine nucleus, the nuclear quadrupole coupling consts. in the principal axes system were detd. to be  $\chi_{aa} = 38.0 \pm 2.2$ ,  $\chi_{bb} = -144.8 \pm 4.1$ ,  $\chi_{cc} = -235.1 \pm 4.6$ , and  $|\chi_{ab}| = 282.5 \pm 1.7$  MHz for the  $^{79}\text{Br}$  species, and  $\chi_{aa} = 302.5 \pm 2.0$ ,  $\chi_{bb} = 110.4 \pm 3.3$ ,  $\chi_{cc} = -192.1 \pm 3.8$ , and  $|\chi_{ab}| = 236.4 \pm 2.0$  MHz for the  $^{81}\text{Br}$  species.

Уб спектр,  
квантам.  
расчет.

C. A. 1990, 113, N 18



1991

117:34018m The structure of the molecular ion of allyl bromide. Carrupt, Pierre Alain; Riveros, Jose M.; Stahl, Daniel (Ec. Pharm., Univ. Lausanne, 1015 Lausanne, Switz.). *Int. J. Mass Spectrom. Ion Processes* 1991, 110(1-2), R1-R5 (Eng). Results are presented of preliminary calcs. at the semi-empirical level by the AM1 method and at the ab initio STO-3G level for the mol. ions  $C_3H_5X^+$  (X = F, Cl, Br, I). The structure of the allyl bromide ion is discussed in detail. This ion exists in lower-energy structures obtained by elongation of the C-Br bond: one corresponds to a sym. ammonium-type ion, and the other to an asym. structure with the Br atom out of the C plane.

структура,  
неоп. параметр

E. A. 1992, 117, 04



1991

Hamilton T.P. Schaefer (III)  
H.F.

meop.  
pacrem

J. Amer. Chem. Soc. 1991.  
113, N 19. C. 7147-7151.

(III. ●  $\text{C}_2\text{H}_2\text{Cl}^+$ , III)



1991

Б Б1275. Микроволновые вращательные спектры 1-бром-2,2-дифторэтилена и тензор бром-ядерного квадрупольного взаимодействия. The microwave rotational spectra of 1-bromo-2,2-difluoroethylene and the bromine nuclear quadrupole coupling tensor / Oldag F., Sutter D. H. // Z. Naturforsch. A.— 1991.— 46, № 6.— С. С. 513—526.— Англ.

На микроволновом (МВ) фурье-спектрометре, шарковском МВ-спектрометре и МВ-спектрометре двойного резонанса в области частот 8—33 ГГц с точностью около 3 кГц впервые измерены вращат. спектры двух изотопмеров 1-бром-2,2-дифторэтилена,  $F_2C=CH^{79}Br$  (I) и  $F_2C=CH^{81}Br$  (II), в основном колебат. состоянии. Идентифицировано 40 переходов I и 38 переходов II. Анализ МВ-спектров выполнен с учетом кватичного центробежного искажения и Br-ядерного квадрупольного вз-вия. Для I и II, соотв., определены вра-

M.N.

X. 1992, N 5

щат. постоянные в МГц  $A=10717,20898(90)$  и  $10717,19761(94)$ ,  $B=1453,47833(17)$  и  $1439,46581(15)$ ,  $C=1279,25529(15)$  и  $1268,38766(14)$  и квадрупольные постоянные в МГц  $\chi_{aa}=453,959(20)$  и  $379,262(24)$ ,  $\chi_{bb}-\chi_{cc}=132,662(9)$  и  $110,835(8)$ ,  $\chi_{ab}=-354,369(24)$  и  $-296,094(34)$ . Определена возможная молек. структура.

С. Н. Мурзин



$C_3H_3Br_2$

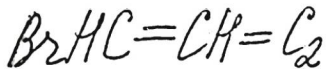
1992

Глуховцев Л. Н.;  
Лайтер С. Ю. и др.

и.п. Ж. орган. химии. 1992.

28, N 9. С. 1789 - 1797.

(смет.  $C_3H_3F$ ; III)



1992

22 Б1337. Микроволновый спектр моногалогенированных алленов. Бромаллен. Microwave spectrum of monohalogenated allenes: Bromoallene /Moazzen N., Ogata Teruhiko, Niide Yuzuru //J. Chem. Soc. Faraday Trans. — 1992. — 88, № 24. — С. 3517—3519. — Англ.

В диапазоне 15—35 ГГц измерен МВ-спектр бромаллена на  $^{79,81}\text{BrHC}=\text{CH}=\text{C}_2$ . Для обоих изотопомеров приведены рассчитанные значения вращат. постоянных, параметров центробежного искажения и тензора ядерного квадрупольного вз-вия. Межъядерное расстояние  $R$  (C—Br) = 1,899 Å,  $\angle$  CCB = 121,7°. В. М. Ковба.

М.А.

Х. 1994, № 22

Br(anner)

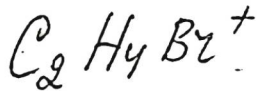
DM. 37235

1992

118: 69203r Microwave spectrum of monohalogenated allenes: bromoallene. Ogata, Teruhiko; Niide, Yuzuru (Fac. Lib. Arts, Shizuoka Univ., Shizuoka, Japan 422). *J. Chem. Soc., Faraday Trans.* 1992, 88(24), 3517-19 (Eng). The microwave spectrum of bromoallene for  $^{79}\text{Br}$  and  $^{81}\text{Br}$  species was studied from 15 to 35 GHz. A least-squares anal. of the obsd.  $a$ - and  $b$ -type transition frequencies gave rotational, quartic centrifugal distortion consts. and the components of the nuclear quadrupole coupling consts. tensor in the principal axes system:  $A = 27\ 849.952$  (63),  $B = 2009.8672$  (40) and  $C = 1897.3682$  (27) MHz,  $D_J = 0.705$  (25),  $D_{JK} = -46.1$  (10),  $3_J = 0.0915$  (29) kHz,  $\chi_{aa} = 377.11$  (94),  $\chi_{bb} = 152.78$  (13) and  $|\chi_{cc}| = 351.32$  (24) MHz for  $^{79}\text{Br}$  species; and  $A = 27\ 820.459$  (52),  $B = 1996.0270$  (33) and  $C = 1884.8908$  (22) MHz,  $D_J = 0.632$  (21),  $D_{JK} = -46.5$  (8),  $3_J = 0.0931$  (16) kHz,  $\chi_{aa} = 316.26$  (36),  $\chi_{bb} - \chi_{cc} = 152.42$  (10) and  $|\chi_{cc}| = 318.00$  (16) MHz for  $^{81}\text{Br}$  species. The structural parameters are calcd. from the obsd. rotational consts. The bond length C-Br in bromoallene was found to be longer than that in bromoethene, in accordance with lower  $\pi$  character for C-Br in bromoallene than in bromoethene.

(A, B, C, D<sub>j</sub>)

C.A. 1993, 118, N8



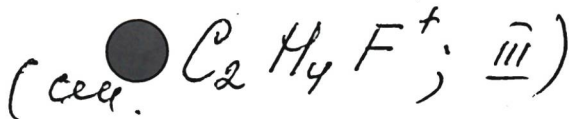
1992

Reynolds Ch. H.

J. Mol. Struct. Theo-

Chem. 1992. 259. C.

257-263.



$(\text{CH}_3)_3\text{CBr}$

1993

( 118: 135033p Rotational spectra of tert-butyl bromide and iodide measured in the millimeter-wave region and by Fourier-transform techniques. Brotherton, Stuart; Legon, A. C.; Thorn, Joanna C.; Turner, B.; Wallwork, Andrew L.; Carpenter, John H.; Johnson, Elizabeth; Smith, John G. (Chem. Dep., Univ. Exeter, Exeter, UK EX4 4QD). *J. Chem. Soc., Faraday Trans.* 1993, 89(3), 397-404 (Eng). Millimeter-wave rotational spectra were recorded for the mols.  $(\text{CH}_3)_3\text{C}^{79}\text{Br}$ ,  $(\text{CH}_3)_3\text{C}^{81}\text{Br}$ , and  $(\text{CH}_3)_3\text{C}^{127}\text{I}$ . In addn., the authors recorded low- $J$  spectra at much greater precision using a Fourier-transform spectrometer. The combined results yield rotational, centrifugal distortion, quadrupole, and spin-rotation consts. which are more accurate than any detd. independently.

(see enamp)

C.A. 1993, 118, N14

$(\text{CH}_3)_3\text{CBr}$

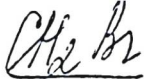
1993

118: 222133q Rotational spectra of 2-bromo-2-methylpropane in excited vibrational states. Carpenter, John H.; Gowland, Christopher D.; Read, Daniel C.; Smith, John G. (Dep. Chem., Univ. Newcastle upon Tyne, Newcastle upon Tyne, UK NE1 7RU). *J. Mol. Spectrosc.* 1993, 159(1), 192-209 (Eng). The millimeter-wave rotational spectra of the mols.  $(\text{CH}_3)_3\text{C}^{79}\text{Br}$  and  $(\text{CH}_3)_3\text{C}^{81}\text{Br}$  in an excited vibrational state were recorded and analyzed. The spectra were assigned to a low lying doubly degenerate vibrational mode. Moderate l-resonance interactions are present in both mols., but at one particular  $J$  an accidental resonance is found which enables a detn. of the axial rotational const.  $A_r = 4519.4$  MHz for  $(\text{CH}_3)_3\text{C}^{79}\text{Br}$  and 4524.3 MHz for  $(\text{CH}_3)_3\text{C}^{81}\text{Br}$ .

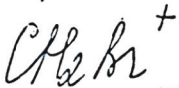
MM example,  
Franziam -  
no cm.

C. A. 1993, 118, N22

1993

(I, Ae, cpekm  
pomocteny.)

120: 38772n Adiabatic ionization energy and electron affinity of bromomethyl (CH<sub>2</sub>Br). Ma, Z. X.; Liao, C. L.; Ng, C. Y.; Ma, Ngai Ling; Li, Wai Kee (Ames Lab., Iowa State Univ., Ames, IA 50011 USA). *J. Chem. Phys.* 1993, 99(9), 6470-3 (Eng). The photoionization efficiency spectrum of supersonically cooled CH<sub>2</sub>Br has been measured near its ionization threshold. The adiabatic ionization energy (IE) of CH<sub>2</sub>Br is detd. to be 8.61±0.01 eV, in excellent agreement with the value obtained previously using the He I photoelectron spectroscopic method. The authors have also performed Gaussian-2 (G2) calcns. on CH<sub>2</sub>Br<sup>+</sup>, CH<sub>2</sub>Br, and CH<sub>2</sub>Br<sup>-</sup> which yield values of 8.47 and 0.97 eV for the IE and electron affinity of CH<sub>2</sub>Br, resp. The G2 electron affinity is in accord with the literature value of 1.0±0.3 eV calcd. from the acidity of CH<sub>3</sub>Br.

(Ae, I,  
meop. pacem)

©. A. 1994, 120, 44

C-Br-H  
кожен.

(DM. 37585)

1994

Aarset K., Hagen K.,  
Stjlevik R.,

конекен.  
снррррр

J. Phys. Chem., 1994, 98,  
5249 - 5256

Molecular structure and con-  
formational composition of

1,4-Dichlorobutane and 1,4-Dibromobutane. A Gas-Phase Electron Diffraction and ab Initio Investigation.

1995

F: HCCBr

P: 3

6B1356. ИК-фурье-спектры высокого разрешения HCCBr и HCCI. High resolution FTIR spectra of HCCBr and HCCI / Vaittinen Olavi, Saarinen

Maria, Jungner Peter, Halonen Lauri, Burger Hans, Polanz Oliver // 10th Int. Conf. Fourier Transform Spectrosc., Budapest, Aug. 27 - Sept. 1, 1995: Book Abstr. and Program. - Budapest, 1995. - С. А10.11. - Англ. С высоким разрешением (0,01-0,003 см<sup>-1</sup>), фурье-спектрометр) измерены ИК-спектры поглощения монобромацетилен (230-10 000 см<sup>-1</sup>) и моноиодацетилен (3800-10 000 см<sup>-1</sup>). Выполнен анализ вращательной структуры спектров, получены значения молекулярных постоянных. Численные данные не приводятся.

Р. ЖС:Х. №6, 1996

HCCBr

1995

123: 126036t High-resolution vibration-rotation FTIR spectrum of the  $2\nu_4$ ,  $\nu_1$ ,  $2\nu_1$ , and  $3\nu_1$  bands of HCCBr. Vaittinen, Olavi; Lukka, Tuomas; Halonen, Lauri; Burger, Hans; Polanz, Oliver (Lab. Phys. Chemistry, Univ. Helsinki, FIN-00014 Finland). *J. Mol. Spectrosc.* 1995, 172(2), 503-19 (Eng). The IR spectrum of a sample of natural monobromoacetylene (HCCBr) has been recorded with the Bruker IFS 120 Fourier spectrometer in the wavenumber region 1100-9800  $\text{cm}^{-1}$  with a resolu. close to the Doppler limit. The  $2\nu_4$ ,  $\nu_1$ ,  $2\nu_1$ , and  $3\nu_1$  band systems have been analyzed. Altogether, 24 vibrational bands belonging to the  $\text{HCC}^{79}\text{Br}$  and 26 bands belonging to the  $\text{HCC}^{81}\text{Br}$  isotopic species have been obsd. and rotationally assigned. An anharmonic resonance model based on rectilinear normal coordinate theory has been used to produce the vibrational assignments for the obsd. bands.

(ex creep)

C.A. 1995, 123, N10

СНУ - КБ

1998

Chandra, Asit K; et al.,

СНУ - РА  
и

J. Phys. Chem. A 1998,

составить,

102 (24), 6865-70

теор.

расчет

(Coll.



СНУ - КБ; III)

$CHBr_2$

(DM. 39868)

1999

от-ра,  
консам.  
сметы,  
уверс.  
барьер

Jerzy Noc,

Chem. Phys. 1999,  
247, 365-373



CH<sub>2</sub>Br

Om. 39868

1999

Jerzy Noc,

Chem. Phys., 1999,

247, 365-373

теорет.  
рацем  
ст-ра,  
комбан.  
спектр,  
цветис.  
барьер

F: C6H5Br

1999

P: 3

131:121125 Very low energy electron scattering  
in C6H5F, C6H5Cl, C6H5Br a

C6H5I. Lunt, S. L.; Field, D.; Hoffmann, S. V.;  
Gulley, R. J.; Ziesel, J-

(ISA, University of Aarhus, Aarhus C DK-8000, Den.).  
J. Phys. B: At., Mol. Phys., 32(11), 2707-2717.  
(English) 1999 Integral and backward scattering  
cross sections are reported for the scat of  
electrons from C6H5F, C6H5Cl, C6H5Br and C6H5I over  
the energy range b 10 and 20 meV to 10 eV. The  
measurements were made in transmission expts a  
synchrotron radiation photoionization app. with an  
energy resoln. in th incident electron beam of ~3.5  
meV (FWHM). The abs. accuracy of the cros sections  
is limited by exptl. difficulties with respect to

C.A. 1990, 131

strong rotational inelastic forward scattering, due to the dipolar nature of the target mol. Integral scattering cross sections are found to rise to more than  $1500 \text{ \AA}^2$  at lowest energies in  $\text{C}_6\text{H}_5\text{F}$ ,  $\text{C}_6\text{H}_5\text{Cl}$  and  $\text{C}_6\text{H}_5\text{Br}$  and to more than  $2000 \text{ \AA}^2$  in C due to an addnl. contribution from electron attachment. At low energy, b integral and backward scattering cross sections are very similar in  $\text{C}_6\text{H}_5\text{F}$ ,  $\text{C}_6\text{H}_5\text{Cl}$  and  $\text{C}_6\text{H}_5\text{Br}$ . Data are interpreted in terms of rotationally inelastic scattering, with values of cross sections essentially dictated by the correspondingly similar dipole moments (1.6-1.7 D) of these three species. Born model for rotationally inelastic scattering consistently underestimates exptl. cross sections and overestimates the degree of forward scattering. Data illustrate the limitations of the Born model for the estn. of low-energy scattering cross sections for plasma modeling.

---

F: CHBr2

P: 3

131:322241 Theoretical study of the CH2Br,  
CHBr2 and CBr3 radicals. Moc, Jerzy

Faculty of Chemistry, Wroclaw University  
Wroclaw 50-383, Pol. Chem. Phys., 247(3),  
365-373 (English) 1999 Equil. structures,  
vibrational spectra, inversion barriers, and  
adiabatic ionization energies are detd. for the  
series of bromomethyl radicals CH2Br, CHBr2 and CBr3  
using both ab initio correlated and hybrid UB3LYP  
d. funct theory (DFT) methods in conjunction with  
the large TZ2P and 6-311 + + G(3 basis sets. In  
particular, the trends in the calcd. mol.  
properties with series are indicated and the  
performance of the two theor. approaches is  
assessed.

1999

1999

F: CH2Br

P: 3

131:322241 Theoretical study of the CH2Br, CHBr2 and CBr3 radicals. Moc, Jerzy

Faculty of Chemistry, Wroclaw University  
Wroclaw 50-383, Pol. Chem. Phys., 247(3),  
365-373 (English) 1999 Equil. structures,  
vibrational spectra, inversion barriers, and  
adiabatic ionization energies are detd. for the  
series of bromomethyl radicals CH2B CHBr2 and CBr3  
using both ab initio correlated and hybrid UB3LYP  
d. funct theory (DFT) methods in conjunction with  
the large TZ2P and 6-311 + + G(3 basis sets. In  
particular, the trends in the calcd. mol.  
properties with series are indicated and the  
performance of the two theor. approaches is  
assessed.



Om. 39957

1999

CH<sub>2</sub>Br

CH<sub>2</sub>Br<sup>+</sup>

comp-pa,  
konu<sup>ai</sup>.

chik<sup>u</sup>,  
ab initio  
pau<sup>u</sup>

N<sup>2</sup>, 2,

Zhuangjie Li,  
Joseph S. Francisco,

J. Chem. Phys., 1999; 110,  
817-822.

c-C<sub>5</sub>H<sub>9</sub>Br

2000

132:327207j Microwave spectrum, ab initio calculations, and structural parameters of bromocyclopentane. Durig, J. R.; Zhao,

W.; Zhu, X. (Department of Chemistry, University of Missouri-Kansas City, Kansas City, MO USA). *J. Mol. Struct.* 2000, 521, 25-35 (Eng), Elsevier Science B.V. The microwave spectrum of bromocyclopentane, c-C<sub>5</sub>H<sub>9</sub>Br, was recorded at 19.7-38.3 GHz. The r-type R-branch transitions were obsd. and assigned for the ground state for both the axial and equatorial conformations of the <sup>79</sup>Br and <sup>81</sup>Br isotopic species. One vibrationally excited state of both isotopic species of the axial conformation were identified and assigned. Addnl., some c'-type Q-branches of both isotopic species of the axial conformer were assigned. For most of the transitions partly resolved hyperfine structure

уб спектра,  
A, B, C.  
спектра

C.A. 2000, 132, N24